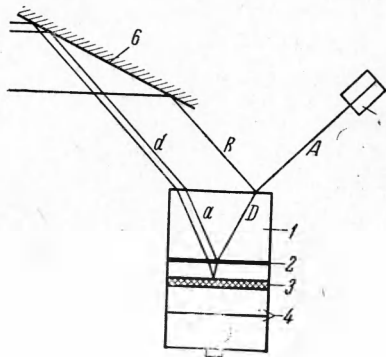


## ОПТИЧЕСКИЕ СВОЙСТВА НИТРОМЕТАНА, СЖАТОГО УДАРНОЙ ВОЛНОЙ

С. Н. Буравова, А. Н. Дремин

(Москва)

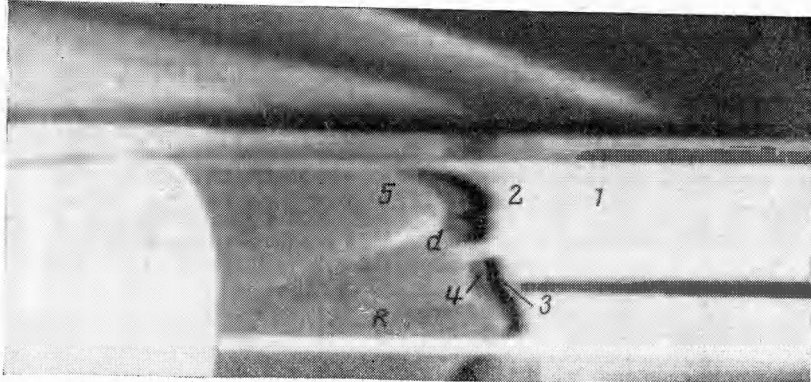
Если толщина фронта ударной волны (переходная область от несжатого в сжатое состояние) мала по сравнению с длиной волны падающего света, то знание отражательной способности позволяет определить коэффициент преломления за ударной волной по формулам Френеля [1]. Когда граница раздела не является резкой, необходимо решать систему уравнений электродинамики для определения зависимости отражательной способности от коэффициента преломления в сжатом веществе и от толщины фронта ударной волны. При этом закон изменения оптических свойств в переходной области, как правило, неизвестен и должен подбираться так, чтобы было максимальное согласие с экспериментом.



Фиг. 1

Схема эксперимента приведена на фиг. 1. На этой фигуре: 1 — сосуд с исследуемой жидкостью; 2 — ударная волна; 3 — металлическая пластина, являющаяся дном сосуда; 4 — активный заряд, создающий плоскую ударную волну в нитрометане; 5 — аргоновый источник света; 6 — зеркало, направляющее лучи в СФР;  $A, R, D$  — падающий, отраженный и преломленный лучи от границы раздела воздух — нитрометан соответственно;  $A_s, A_p, R_s, R_p, D_s, D_p$  — перпендикулярные и параллельные компоненты электрической напряженности для соответствующих лучей;  $a$  — луч, отраженный от фронта ударной волны;  $d$  — тот же луч, но прошедший границу раздела нитрометан — воздух;  $a_s, a_p, d_s, d_p$  — компоненты электрической напряженности лучей  $a$  и  $d$ .

Регистрация отраженного света производилась на фотопленку прибора СФР. На фиг. 2 приведен образец полученной записи. На этой фотохронограмме: 1 — свет,



Фиг. 2

рассеянный дном сосуда до выхода ударной волны; 2 — тот же свет после выхода ударной волны; 3 — область поглощения; 4 — область предсвечения; 5 — свечение детонации;  $t_0$  — момент выхода ударной волны в нитрометан.

Обработка пленки фотометрическим путем [2] позволила определить отношение интенсивностей лучей  $d$  и  $R$

$$\frac{d^2}{R^2} = \frac{d_s^2 + d_p^2}{R_s^2 + R_p^2}$$

Замеры проводились на пленке в области поглощения, где фон рассеянного света минимален, а также в области предсвечения, где фон равномерный. Необходимо заме-

тить, что область поглощения всего белого света перед началом детонации наблюдается для многих жидкых взрывчатых веществ. По-видимому, это связано с переходом валентных электронов в зону проводимости. В исследованном интервале давлений область поглощения мала, так для нитрометана она  $\lesssim 0.1 \text{ мкsec}$  и увеличивается с добавлением в нитрометан инертных добавок — растворителей. Поскольку поглощение происходит в глубине сжатого вещества, ударная волна очень четко фиксируется на этом фоне,

Следует учесть то обстоятельство, что при отражении и преломлении луча на границе раздела жидкость — воздух — свет частично поляризуется, и только для падающего света можно утверждать равенство интенсивностей перпендикулярной и параллельной компонент. В данном случае только

$$A_s^2 = A_p^2 = 1/2 A_0^2$$

Приведем необходимые для дальнейшего обозначения:

$$\begin{aligned} \frac{R_s}{A_s} &= V_{s1}, & \frac{D_s}{A_s} &= W_{s1}, & \frac{d_s}{a_s} &= W_{s2}, & \frac{a_s}{D_s} &= V_s \\ \frac{R_p}{A_p} &= V_{p1}, & \frac{D_p}{A_p} &= W_{p1}, & \frac{d_p}{a_p} &= W_{p2}, & \frac{a_p}{D_p} &= V_p \end{aligned}$$

где  $V_{s1}$ ,  $V_{p1}$  — коэффициенты отражения, а  $W_{s1}$ ,  $W_{p1}$  — коэффициенты прохождения перпендикулярной и параллельной компонент различных лучей:

$$\begin{aligned} \frac{d^2}{R^2} &= \frac{d_s^2 + d_p^2}{R_s^2 + R_p^2} = \frac{W_{s2}^2 a_s^2 + W_{p2}^2 a_p^2}{V_{s1}^2 A_s^2 + V_{p1}^2 A_p^2} = \frac{W_{s2}^2}{V_{s1}^2 + V_{p1}^2} \frac{a_s^2}{A_s^2} + \frac{W_{p2}^2}{V_{s1}^2 + V_{p1}^2} \frac{a_p^2}{A_p^2} = \\ &= \frac{W_{s1}^2 W_{s2}^2}{V_{s1}^2 + V_{p1}^2} \frac{a_s^2}{D_s^2} + \frac{W_{p1}^2 W_{p2}^2}{V_{s1}^2 + V_{p1}^2} \frac{a_p^2}{D_p^2} = \frac{W_{s1}^2 W_{s2}^2}{V_{s1}^2 + V_{p1}^2} V_s^2 + \frac{W_{p1}^2 W_{p2}^2}{V_{s1}^2 + V_{p1}^2} V_p^2 \end{aligned}$$

Здесь  $W_{s1}$ ,  $W_{s2}$ ,  $W_{p1}$ ,  $W_{p2}$ ,  $V_{s1}$ ,  $V_{p1}$  определяются по формулам Френеля, поскольку известен угол падения и коэффициент преломления невозмущенного нитрометана  $n_0$ . Из приведенной выше формулы видно, что только в случае поляризованного света можно от экспериментально определенной величины  $d^2 / R^2$  перейти к отражательной способности ударной волны  $V_s$  или  $V_p$ . Если же в эксперименте используется белый свет, то величина

$$\frac{a^2}{D^2} = \frac{a_s^2 + a_p^2}{D_s^2 + D_p^2}$$

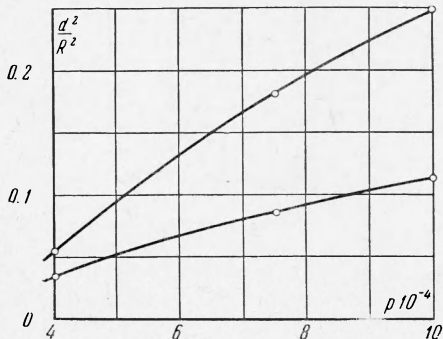
непосредственно не определяется.

На фиг. 3 приведены экспериментальные данные — зависимость  $d^2 / R^2$  от давления в ударной волне для двух углов  $\theta_1 = 21^\circ$  и  $\theta_2 = 39^\circ$ , где  $\theta$  — угол падения луча на поверхность ударной волны. Точность определения  $d^2 / R^2$  выше 50%. Для того чтобы из экспериментальных данных определить  $n$  — коэффициент преломления за ударной волной, необходимо задаться видом функций  $V_s(n)$  и  $V_p(n)$ . Когда толщина слоя мала,  $V_s(n)$  и  $V_p(n)$  определяются по формулам Френеля, в противном случае вид функций  $V_s(n)$  и  $V_p(n)$  определяется решением уравнений электродинамики [3]. Задача математически значительно упрощается, в случае, когда от переходной области отражается мало света, т. е. когда  $a^2 / D^2 \ll 1$ , как это и имеет место в эксперименте.

Действительно,  $d^2 / R^2 \sim 10^{-1} - 10^{-2}$  — экспериментально измеренная величина

$$\frac{d^2}{a^2} \sim W_{s2}^2 + W_{p2}^2 \sim 2, \quad \frac{D^2}{R^2} \sim \frac{W_{s2}^2}{V_{s1}^2} + \frac{W_{p1}^2}{V_{p1}^2} \sim 6$$

Следовательно,  $a^2 / D^2 \sim 10^{-2} - 10^{-3}$ .



Фиг. 3

Следуя работе [4], задаем вид изменения показателя преломления в переходном слое

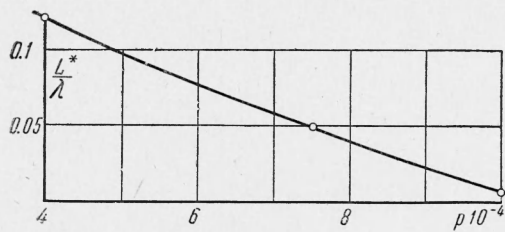
$$\frac{n(x)}{n_0} = 1 + \frac{n - n_0}{1 + \exp(-4x/L)}$$

где  $0 \leq x \leq L$ , а  $L$  — толщина переходного слоя. Для такого закона изменения  $n(x)$  имеем [4]

$$V_s = -\frac{1 + \operatorname{tg}^2 \theta}{2} (n - n_0) \frac{\pi^2 l \cos \theta}{\operatorname{sh}(\pi^2 l \cos \theta)} \quad (l = \frac{L}{\lambda})$$

$$V_p = \frac{1 - \operatorname{tg}^2 \theta}{2} (n - n_0) \frac{\pi^2 l \cos \theta}{\operatorname{sh}(\pi^2 l \cos \theta)}$$

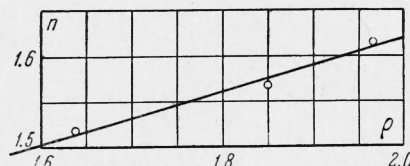
В эксперименте использовался белый свет, поэтому входящую в уравнения длину световой волны следует считать некой приведенной. Решение системы двух уравнений  $d^2 / R^2 (L/\lambda, n, \theta)$  с двумя неизвестными позволяет оценить толщину ударной волны



Фиг. 4

и показатель преломления за ней. Ошибка в определении отношения  $L/\lambda$  больше 50%. На фиг. 4 приводится зависимость  $L^*/\lambda$  от давления ( $\text{атм}$ ), где  $L^*/\lambda$  — максимальное значение, полученное из данных нескольких опытов, так что истинное значение  $L/\lambda$  должно быть заведомо меньше. Из графика видно, что толщина переходного слоя мала по сравнению с длиной волны света, следовательно, для вычисления  $V_s(n)$  и  $V_p(n)$  можно пользоваться формулами Френеля.

Полученная в результате расчетов зависимость показателя преломления  $n$  ударно-



Фиг. 5

сжатого нитрометана от плотности  $\rho$  приведена на фиг. 5. Плотность нитрометана рассчитывалась по ударной адабате [5], исходя из измеренного значения скорости ударной волны.

В заключение авторы благодарят Г. Г. Немцева, В. А. Парамонова, В. А. Коломенкина за помощь при проведении экспериментов.

Поступила 30 III 1964

#### ЛИТЕРАТУРА

- Гинзбург В. Л., Мотулевич Г. П. Оптические свойства металлов, Успехи физ. наук, 1955, т. 55, № 4.
- Прокофьев В. К. Фотографические методы количественного спектрального анализа металлов и сплавов., Ч. II. Гостехтеоретиздат, М., 1961.
- Бреховских Л. М. Волны в слоистых средах. Изд-во АН СССР, М., 1957.
- Cowan G. R., Horning D. F. The Experimental Determination of the Thickness of a shock Front in a Gas. J. Chem. Phys., 1950 vol. 18, No. 8.
- Илюхин В. С., Покалин П. Ф., Розанов О. К., Шедова Н. С. Изменения ударных адабат литого тротила, кристаллического гексогена и нитрометана. Докл. АН СССР, 1960, т. 131, № 4.